

交直連繫系統을 포함한 電力系統에서의 狀態推定에 관한 研究

論 文

37~1~1

State Estimation in Power Systems with Interconnected AC/DC System

金 俊 鉉* · 朴 健 淳** · 李 鍾 範***
(Joon-Hyun Kim · Kon-Soo Park · Jong-Bum Lee)

ABSTRACT

This paper describes a method for the state estimation in power systems with interconnected AC / DC system. The state values in interconnected AC / DC system are estimated using measurement values with the pseudo measurement so that the number of telemetering measurement can be reduced. Especially, the state values in AC system are estimated through hierarchical method after system decomposition including superposition bus was formed for the state estimation in large-scale power systems.

The results of the application to the two model power systems show the effectiveness of the presented algorithms.

1. 序 論

電力系統의 運用 및 制御의 自動化가 계속 이루 어짐에 따라 그 基本情報로서의 系統運用 및 構成 狀態에 대한 정확한 파악이 절실히 요구되고 있으며,^{1)~5)} 특히, 근래 直流送電方式의 利點을 감안하여 복잡한 交流系統에 直流系統을 連繫시킨 交直混合系統이 외국 여러나라에서는 이미 구성되어 있어 이러한 交直混合系統에서의 狀態值에 대한 정확한 파악은 더욱 중요한 의미를 갖고 있다. 따라서, 발 표수는 적지만 지금까지 M. Sheikoleslami, D. M. Falcao 등으로부터 이러한 系統에서의 狀態 推定技法이 발표되었으며^{6)~8)}, 아울러 여기서는 狀態벡터의 선정에 재한을 두고 있으므로 이에 대한 확장

이 요구되고 있다.

直流送電은 送受電端의 安定度 문제 없이 大電力を 장거리로 送電하기가 가능하고, 潮流制御의 신속 및 저렴한 건설비뿐만 아니라 系統의 連繫特性이 좋아 케이블送電으로서 많이 이루어지고 있다.⁹⁾ 우리나라에서는 아직 實現되지 않고 있으나 장차 제주도의 海低케이블을 통한 直流送電도 計劃 및 實施豫定에 있으므로 交流系統뿐만 아니라 直流系統 및 交直混合部分의 狀態를 測定情報を使って 얻음으로써 전반적인 系統運用 및 制御의 向上을 기할 수가 있을 것이다.

本 論文에서는 全系統을 交流系統, 直流系統 및 交直混合系統으로 區分한 후 각 系統에서의 狀態벡터를 정의하였으며 특히, 交直混合系統에서는 狀態벡터를 順變換器와 逆變換器側 양쪽에서 順·逆變換器 브릿지에 印加되는 電壓, 順·逆變換器의 制御角 및 餘裕用, 그리고 順·逆變換器變壓器의 卷線比외에 추가로 브릿지에 인가되는 電壓과 이곳에 흐르는 電流와의 位相差로 정의하여 系統運用 및 制御의 情報를 增加시켰다. 한편, 測定値는 傳送測定値와 假想測定値를 이용하였다.

*正會員：漢陽大 工大 電氣工學科 教授

**正會員：東洋工業專門大 電氣科 副教授

***正會員：韓國電氣研究所 研究員 · 工博

接受日字：1987年 5月 7日

1次修正：1987年 9月 10日

2次修正：1987年 12月 20日

또한, 大規模 電力系統에서의 効率的 推定을 위하여 系統을 分割하되 部分系統사이에는 重疊母線을 만들도록 分割하였다. 따라서, 連繫線 및 이에 따른 連繫系統이 發生하지 않아 部分系統 들에서만의 推定值로 系統協調를 하여 推定함으로써 全系統의 狀態值를 보다 効率的으로 推定하였으며, 事例研究를 통하여 얻은 結果를 實際值와 比較·검토함으로써 提示한 技法에 대한 効用性을 評價하였다.

2. 測定 Model 設定

系統의 運用 및 制御를 効果的으로 수행할 수 있도록 情報를 제공하는 變數인 狀態值 \underline{X} (이하 一를 표시한 문자는 行列을 나타냄)는 각 母線의 注入電力, 電壓, 線路潮流 및 기타 成分으로 이루어져 있는 測定要素과 함께 다음과 같은 測定 Model을 이루고 있다.

먼저, t 時點에서의 測定벡터 \underline{Z}_t 는 이 測定值의 測定誤差가 Gauss分布에 따른다고 할 때 다음과 같이 구성된다.

$$\underline{Z}_t = \underline{h}_t(\underline{x}_t) + \underline{\nu} \quad (1)$$

$$E\{\underline{\nu}\} \underline{\nu}^T = \underline{R}_t \quad (2)$$

여기서, $\underline{Z}_t : m \times 1$ 測定벡터

$\underline{x}_t : N \times 1$ 狀態벡터

$\underline{\nu} : m \times 1, N(0, \sigma_v^2)$ 的 測定誤差 벡터

$\underline{h}_t(\underline{x}_t) : m \times 1$ 非線形 벡터函數

$E\{\cdot\} :$ 期待值 演算子

$\underline{R}_t : \underline{\nu}$ 的 共分散行列

여기서, 狀態벡터를 推定하기 위하여서는 加重最小自乘 推定法을 사용하였으며, 이 때 目的函數 $J(\underline{x}_t)$ 는 다음과 같이 設定된다.

$$J(\underline{x}_t) = [\underline{Z}_t - \underline{h}_t(\underline{x}_t)]^T \underline{R}_t^{-1} [\underline{Z}_t - \underline{h}_t(\underline{x}_t)] \quad (3)$$

그리고, 이 目的函數는 AC系統과 DC系統 및 A/C/DC系統에서의 각 $J(\underline{x}_t)$ 의 합으로 이루어져 있으므로 다음과 같이 된다.

$$J(\underline{x}_t) = J(\underline{x}_{At}) + J(\underline{x}_{Dt}) + J(\underline{X}_{A/At}) \quad (4)$$

여기서, $J(\underline{x}_{At})$: AC系統에서의 目的函數

$J(\underline{x}_{Dt})$: DC系統에서의 目的函數

$J(\underline{X}_{A/At})$: AC/DC系統에서의 目的函數

한편, 구하고자 하는 狀態벡터 \underline{X}_t 는 식 (5)와 같은 反復計算을 통하여 구하여진다.

$$\begin{aligned} & \underline{X}_{t+1} \\ &= \underline{X}_{t(t)} + [\underline{G}_t(\underline{x}_{t(t)})]^{-1} \underline{H}_t(\underline{x}_{t(t)})^T \underline{R}_t^{-1} [\underline{Z}_t - \underline{h}_t(\underline{x}_{t(t)})] \quad (5) \end{aligned}$$

$$\underline{G}_t(\underline{x}_{t(t)}) = [\underline{H}_t(\underline{x}_{t(t)})^T \underline{R}_t^{-1} \underline{H}_t(\underline{x}_{t(t)})]$$

여기서, $\underline{H}_t(\underline{x}_{t(t)})$ 는 推定 Jacobian이고, $\underline{G}_t(\underline{x}_{t(t)})$ 와 \underline{l} 은 利得行列 및 反復回數이며, ϵ 을 許容誤差라 할 때 $\max |X_{t(t+1)} - X_{t(t)}| \leq \epsilon$ 이 될 때까지 反復計算을 행한다.

3. 交流系統에서의 狀態推定

交流系統에서의 狀態值 X_a 는 각 母線의 電壓크기 E_a , 位相角을 θ 라 할 때 n 母線系統에서 slack母線을 1이라 하면 $N (=2n-1)$ 개로 식 (6)과 같이 구성된다.

$$\underline{X}_a = [E_{a1}, E_{a2}, \dots, E_{an}, \theta_2, \theta_3, \dots, \theta_n]^T \quad (6)$$

이러한 狀態值를 얻기 위하여서는 2장에서도 언급한 바와같이 測定벡터成分은 각 母線의 注入電力과 電壓 및 線路潮流 등으로 이루어져 있으며, 식 (5)를 통하여 구하게 된다.

4. 直流系統에서의 狀態推定

直流系統에서의 狀態벡터는 각 母線의 位相이 同相이므로 母線數가 K 개일 경우 K 개의 電壓만으로 구성된다.

$$\underline{X}_d = [E_{d1}, E_{d2}, \dots, E_{dK}]^T \quad (7)$$

한편, 이들 狀態벡터를 구하기 위한 測定벡터成分으로서는 母線電壓, 線路潮流 注入電力 및 電流가 있으며, 이러한 測定벡터는 그림 1로부터 다음과 같이 표현할 수 있다.

(1) 母線 i의 注入電力

$$Pd_i = Ed_i \sum_{j=1}^K G_{ij} Ed_j \quad (8)$$

(2) 母線 i, j間의 線路潮流

$$Pd_{ij} = Ed_i G_{ij} (Ed_j - Ed_i) \quad (9)$$

(3) 母線 i, j사이의 線路電流

$$Id_{ij} = G_{ij} (Ed_j - Ed_i) \quad (10)$$

(4) 母線 i에서의 注入電流

$$Id_i = \sum_{j=1}^K G_{ij} Ed_j \quad (11)$$

(5) 母線 i의 電壓

$$Ed_i \quad (12)$$

여기서, G_{ij} 는 G_{bus} 의 ij要素이다. 한편, 推定 Jacobian도 다음과 같이 구성된다.

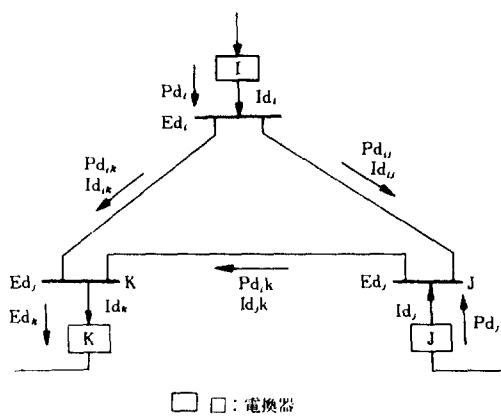


그림1. 直流系統의 一例

Fig.1. Example of the DC system.

$$\frac{\partial P_{d_i}}{\partial E_{d_i}} = 2E_{d_i}G_{ii} + \sum_{j=1}^k G_{ij}E_{d_j} \quad (13)$$

$$\frac{\partial P_{d_i}}{\partial E_{d_j}} = E_{d_i}G_{ij} \quad (i \neq j)$$

$$\frac{\partial P_{d_{i'}}}{\partial E_{d_i}} = (E_{d_i} - 2E_{d_{i'}})G_{ii} \quad (14)$$

$$\frac{\partial P_{d_{i'}}}{\partial E_{d_j}} = E_{d_i}G_{ij} \quad (i \neq j)$$

$$\frac{\partial I_{d_{i'}}}{\partial E_{d_i}} = -G_{ii} \quad (15)$$

$$\frac{\partial I_{d_{i'}}}{\partial E_{d_j}} = G_{ij} \quad (i \neq j)$$

$$\frac{\partial I_{d_i}}{\partial E_{d_i}} = G_{ii} \quad (16)$$

$$\frac{\partial I_{d_i}}{\partial E_{d_j}} = G_{ij} \quad (i \neq j)$$

$$\frac{\partial E_{d_i}}{\partial E_{d_i}} = 1 \quad (17)$$

$$\frac{\partial E_{d_i}}{\partial E_{d_j}} = 0 \quad (i \neq j)$$

따라서, 위와 같은 测定ベクトル와 推定 Jacobin을 갖고 식 (5)와 같은 反復計算을 통하여 直流系統의 狀態值을 推定하게 된다.

5. 交直連繫系統에서의 狀態推定

AC/DC 連繫系統은 간략화하여 그림 2와 같이 구성되어 있으며 기호의 설명은 부록 2에 기술하였다.

本 論文에서는 각 連繫系統에서의 狀態ベクトル를 다음과 같이 정의하였다.

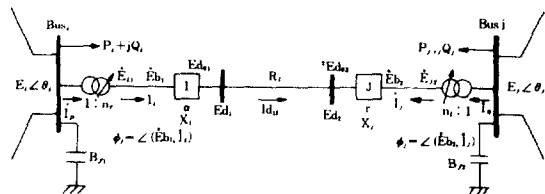


그림2. 交直連繫系統

Fig.2. AC/DC interconnection system.

$$\underline{X}_{A/D} = [E_{b_1}, \phi_i, \alpha, n_r]^T \quad (18)$$

$$\underline{X}_{J/A/D} = [E_{b_2}, \phi_j, r, n_t]^T \quad (19)$$

한편, 이들을 구하기 위한 测定ベクトル는 测定值 및 假想測定值를 포함하여 다음과 같이 구성시킬 수가 있다.

먼저, 順變換器側에서의 测定值는

$$h_{A/D}(x_{A/D})_{i_1} : E_{d_{i1}} = \frac{3\sqrt{2}}{\pi} E_{b_1} \cos \phi_i \quad (20)$$

$$h_{A/D}(x_{A/D})_{i_2} : (I_{d_{i2}} X_i)^2 = \frac{\pi^2}{18} (n_r^2 E_i^2 - E_{b_1}^2 - \frac{6\sqrt{2}}{\pi} E_{b_1} I_{d_{i2}} X_i \sin \phi_i) \quad (21)$$

$$h_{A/D}(x_{A/D})_{i_3} : (I_{d_{i2}} X_i)^2 = \cos^2 \alpha (2E_{b_1}^2 + \frac{36}{\pi} (I_{d_{i2}} X_i)^2 + \frac{12\sqrt{2}}{\pi} E_{b_1} I_{d_{i2}} X_i \sin \phi_i) - 2E_{b_1} \cos \phi_i (E_{b_1} \cos \phi_i + \sqrt{2} I_{d_{i2}} X_i) \quad (22)$$

$$h_{A/D}(x_{A/D})_{i_4} : P_i = \frac{3\sqrt{2}}{\pi} I_{d_{i2}} E_{b_1} \cos \phi_i \quad (23)$$

$$h_{A/D}(x_{A/D})_{i_5} : Q_i = \frac{3\sqrt{2}}{\pi} I_{d_{i2}} E_{b_1} \sin \phi_i + \frac{18}{\pi} X_i I_{d_{i2}}^2 \quad (24)$$

와 같으며, 逆變換器側에서의 测定值도 다음과 같이 구성된다.

$$h_{A/D}(x_{A/D})_{j_1} : E_{d_{j2}} = \frac{3\sqrt{2}}{\pi} E_{b_2} \cos \phi_j \quad (25)$$

$$h_{A/D}(x_{A/D})_{j_2} : (I_{d_{j2}} X_j)^2 = \frac{\pi^2}{18} (n_t^2 E_j^2 - E_{b_2}^2 - \frac{6\sqrt{2}}{\pi} E_{b_2} I_{d_{j2}} X_j \sin \phi_j) \quad (26)$$

$$h_{A/D}(x_{A/D})_{j_3} : (I_{d_{j2}} X_j)^2 = \cos^2 r (2E_{b_2}^2 + \frac{36}{\pi} (I_{d_{j2}} X_j)^2 + \frac{12\sqrt{2}}{\pi} E_{b_2} I_{d_{j2}} X_j \sin \phi_j) - 2E_{b_2} \cos \phi_j (E_{b_2} \cos \phi_j + \sqrt{2} I_{d_{j2}} X_j) \quad (27)$$

$$h_{A/D}(x_{A/D})_{j_4} : P_j = -\frac{3\sqrt{2}}{\pi} I_{d_{j2}} E_{b_2} \cos \phi_j \quad (28)$$

$$h_{A/D}(x_{A/D})_{ij} : Q_j = \frac{3\sqrt{2}}{\pi} Id_{12} Eb_2 \sin \phi + \frac{18}{\pi^2} X_{12} Id_{12}^2 \quad (29)$$

여기서, Ed_{01} , Ed_{02} 및 P_i , P_j , Q_i , Q_j 는 傳送받는 测定值이지만 $(Id_{12}X_i)^2$, $(Id_{12}X_j)^2$ 은 定電流制御時一定值인 假想測定值로서, 傳送받지 않아도 되는 成分이며, 한편, 식 (20)~(22) 및 (25)~(27)의 유도과정은 부록에 수록하였다. 또한, 推定 Jacobian $H_{A/D}(x_{A/D})$ 는 다음과 같이 구성된다.

$$H_{A/D}(x_{A/D})_{ij} =$$

| Ed_{01}/Eb_1 | Ed_{01}/ϕ_i | Ed_{01}/α | Ed_{01}/n_r |
|-----------------------|-------------------------|-------------------------|----------------------|
| $(Id_{12}X_i)^2/Eb_1$ | $(Id_{12}X_i)^2/\phi_i$ | $(Id_{12}X_i)^2/\alpha$ | $(Id_{12}X_i)^2/n_r$ |
| $(Id_{12}X_i)^2/Eb_1$ | $(Id_{12}X_i)^2/\phi_i$ | $(Id_{12}X_i)^2/\alpha$ | $(Id_{12}X_i)^2/n_r$ |
| P_i/Eb_1 | P_i/ϕ_i | P_i/α | P_i/n_r |
| Q_i/Eb_1 | Q_i/ϕ_i | Q_i/α | Q_i/n_r |

(30)

$$H_{A/D}(x_{A/D})_{ij} =$$

| Ed_{02}/Eb_2 | Ed_{02}/ϕ_j | Ed_{02}/r | Ed_{02}/n_r |
|-----------------------|-------------------------|--------------------|----------------------|
| $(Id_{12}X_j)^2/Eb_2$ | $(Id_{12}X_j)^2/\phi_j$ | $(Id_{12}X_j)^2/r$ | $(Id_{12}X_j)^2/n_r$ |
| $(Id_{12}X_j)^2/Eb_2$ | $(Id_{12}X_j)^2/\phi_j$ | $(Id_{12}X_j)^2/r$ | $(Id_{12}X_j)^2/n_r$ |
| P_j/Eb_2 | P_j/ϕ_j | P_j/r | P_j/n_r |
| Q_j/Eb_2 | Q_j/ϕ_j | Q_j/r | Q_j/n_r |

(31)

따라서, 連繫系統에서의 狀態値는 위에서 기술한 测定值와 推定 Jacobian을 갖고 식(5)의 反復計算을 통하여 구하도록 하였다.

6. 系統分割에 의한 交流系統에서의 狀態推定

大規模 電力系統의 狀態値를 全系統으로 다루어 推定한다는 것은 計算 및 情報處理面으로 볼 때에 非効率의 이므로 이를 몇개의 部分系統으로 分割하여 각 部分系統별로 狀態値를 推定한 후 이들의 相互協調에 의하여 全系統의 狀態値를 推定한다면 計算時間과 記憶容量의 節減, 그리고 情報傳送系統의 縮小 등 매우 効率的일 수 있다. 그리고, 이렇게 分割하여 구한 推定値가 하나의 系統으로 다루어 구한 推定値와 비교하여 情報供給에 있어서 차이가 없다면 더욱 効果의이라고 할 수 있겠다.

本論文에서는 分割時 기준의 方法과 같이 連繫線과 境界母線으로 구성되는 連繫系統을 형성하지 않고 그림 3과 같이 部分系統에 重疊母線만 형성

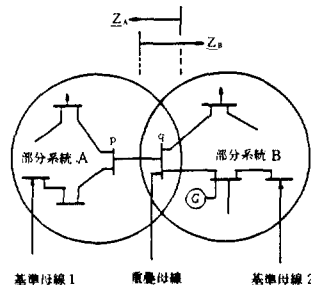


그림3. 系統分割圖

Fig.3. Diagram of system decomposition.

되도록 分割한 후 이를 狀態推定에 이용토록 하였다.

狀態推定時는 각 部分系統마다 基準母線을 정하고 이 部分系統으로부터 全系統의 狀態値를 구하게 된다.

먼저, 部分系統 A와 部分系統 i ($i=B, C, \dots, P, \dots, S$)와의 基準母線사이의 電壓位相差는 다음과 같다.

$$\underline{\theta} = [\theta^{B/A}, \theta^{C/A}, \dots, \theta^{P/A}, \dots, \theta^{S/A}]^T \quad (32)$$

그리고, 部分系統 A, B에서의 狀態値는 다음과 같은 각각의 目的函數를 설정하여 구하게 된다.

$$J(x_A) = [Z_A - h_A(x_A)]^T R_A^{-1} [Z_A - h_A(x_A)] \quad (33)$$

$$J(x_B) = [Z_B - h_B(x_B)]^T R_B^{-1} [Z_B - h_B(x_B)] \quad (34)$$

$$J(x) = J(x_A) + J(x_B) \quad (35)$$

이 때, 全系統의 각 母線電壓크기는 部分系統별로 推定한 值을 그대로 적용하여, 位相角만相互協調를 통하여 구하게 된다. 또한, 推定时 重疊母線 q_i 에 관계된 부분의 测定値는 注入成分을 제외하고 q_i 母線에 연결된 線路成分만을 이용하도록 한다.

重疊母線은 1개를 만들 수도 있으며, 만일 n 개를 만들었을 경우는 각 重疊母線의 電壓位相差 θ_{qi} 는 다음과 같이 된다.

$$\theta_{qi} = (\theta_{qi}^A - \theta_{qi}^B) \quad (i=1, 2, \dots, n) \quad (36)$$

여기서, θ_{qi}^A : 部分系統 A에서 推定된 重疊母線 q_i 의 位相角

θ_{qi}^B : 部分系統 B에서 推定된 重疊母線 q_i 의 位相角

따라서, 部分系統 A, B間의 基準母線사이의 電壓位相差 $\theta_{A(B)}$ 는 다음과 같이 된다.

$$\theta_{A(B)} = 1/n \sum_{i=1}^n \theta_i^\circ \quad (37)$$

이로부터 全系統으로 볼 때 部分系統 B에 있는 각母線의 電壓位相角도 基準母線의 位相角이 정해졌으므로 式(38)로부터 간단히 구할 수 있다.

$$\theta_{K(B)} = \theta_{A(B)} + \delta_{K(B)} \quad (38)$$

여기서, $\theta_{K(B)}$: 部分系統 A의 基準母線에 대한 部分系統 B의 k母線 電壓位相角

$\delta_{K(B)}$: 部分系統 B에서의 K母線 電壓位相角

이러한 방법은 系統分割時 連繫系統이 형성되지 않으며, 따라서, 連繫系統에서의 狀態를 별도로 推定할 필요가 없어 간편한 代數的方法으로 狀態値를 推定할 수가 있다.

系統分割에 의한 狀態推定의 構造를 圖示하면 그림 4와 같다

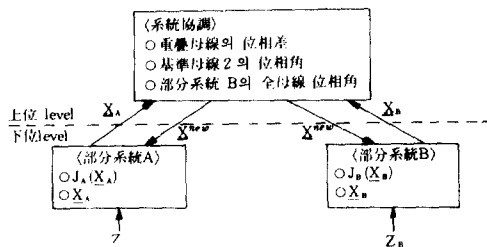


그림4. 系統分割에 의한 階層的 推定法의 構造

Fig.4. Structure of hierarchical estimation method by system decomposition.

지금까지의 推定過程을 흐름도로 나타내면 그림 5, 6과 같다.

7. 實例研究

本論文에서는 그림 5.6과 같은 過程으로 그림 7과 같은 DC系統을 포함한 14Bus 모델系統(모델系統I)과 이것을 2개로 分割한 모델系統(모델系統II)인 그림 8로부터 각 系統별 测定值를 이용하여 狀態値를 推定하였다. 모델系統I에서는 총 54개의 测定值를 이용하여 狀態値를 推定하였으며, 이때 加重行列의 대각요소값을 10^4 으로 가정하여 입력시켰다.

표 1은 모델系統I에서 推定한 狀態値를 實際値와 비교한 것이며, 이로부터, 推定結果의 最大誤差

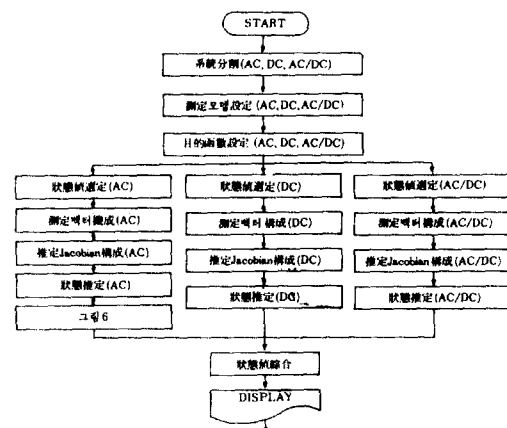


그림5. 각 系統別 狀態推定 흐름도

Fig.5. Flow chart for the state estimation in each system

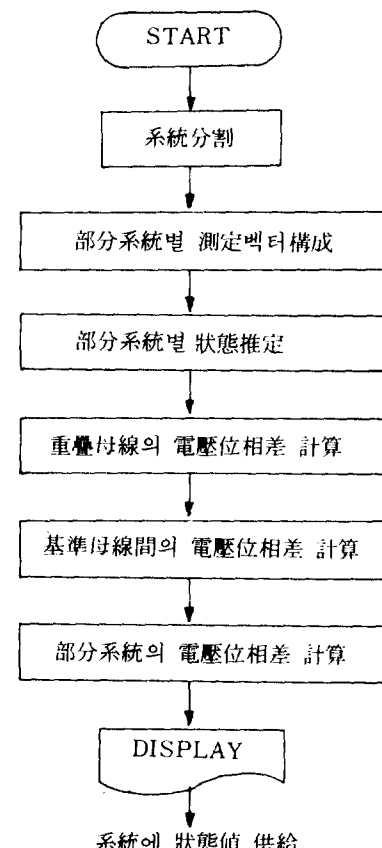


그림6. 系統分割後의 交流系統 狀態推定 흐름도

Fig.6. Flow chart for the state estimation in AC system after system decompositioin.

표 1. 모델系統 I에서의 狀態推定值와 實際值 比較

Table 1. Comparison of the estimated values and true values in model system I.

| BUS | MAG. TR. | MAG. ES. | ER[%] | ANG. TR. | ANG. ES. | ER[%] |
|-----|----------|----------|---------|----------|----------|---------|
| 1 | 1.06000 | 1.05900 | 0.09434 | 0.00000 | 0.00000 | 0.00000 |
| 2 | 1.04500 | 1.04452 | 0.04593 | -0.08692 | -0.08700 | 0.09200 |
| 3 | 1.01000 | 1.00933 | 0.06634 | -0.22201 | -0.22216 | 0.06756 |
| 4 | 1.01900 | 1.01803 | 0.09519 | -0.18029 | -0.18039 | 0.05547 |
| 5 | 1.02000 | 1.01925 | 0.07353 | -0.15324 | -0.15346 | 0.14357 |
| 6 | 1.07000 | 1.06904 | 0.08972 | -0.24819 | -0.24849 | 0.12088 |
| 7 | 1.06200 | 1.06133 | 0.06309 | -0.23335 | -0.23359 | 0.10285 |
| 8 | 1.09000 | 1.08955 | 0.04128 | -0.23318 | -0.23342 | 0.10292 |
| 9 | 1.05600 | 1.05502 | 0.09280 | -0.26075 | -0.26098 | 0.08821 |
| 10 | 1.05100 | 1.05001 | 0.09420 | -0.26354 | -0.26387 | 0.08348 |
| 11 | 1.05700 | 1.05602 | 0.09272 | -0.25813 | -0.25837 | 0.09298 |
| 12 | 1.05500 | 1.05402 | 0.09289 | -0.31538 | -0.31560 | 0.06976 |
| 13 | 1.05000 | 1.04903 | 0.09238 | -0.26459 | -0.26478 | 0.07181 |
| 14 | 1.03600 | 1.03499 | 0.09749 | -0.27995 | -0.28003 | 0.02858 |

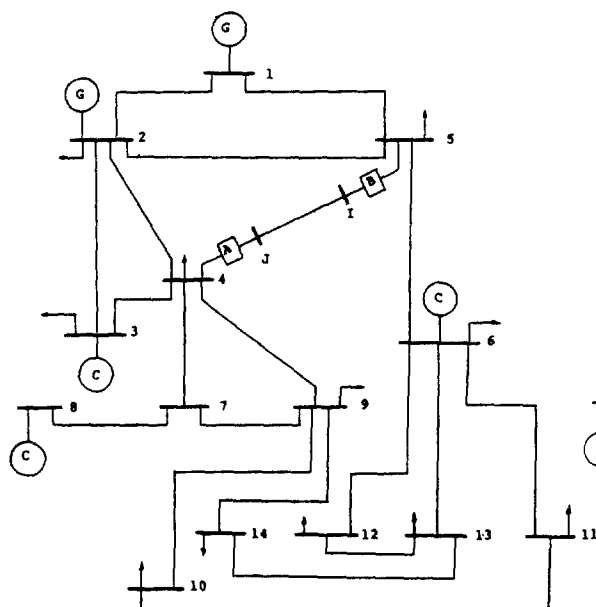


그림7. 14 BUS 모델系統(모델系統 I)

Fig. 7. 14 Bus model power system (Model system I).

가 電壓의 크기 및 位相角이 각각 0.09749(%), 0.14357[%]임을 알 수 있다. 단, 여기서 첨자 TR, ES는 實際值와 推定值이며, 이하 同一하다.

표 2는 系統을 分割한 모델系統 II에서 部分系統 A, B별로 狀態推定을 실시한 후 部分系統들의 推定值를 갖고 系統協調에 의하여 全系統으로서의 狀態

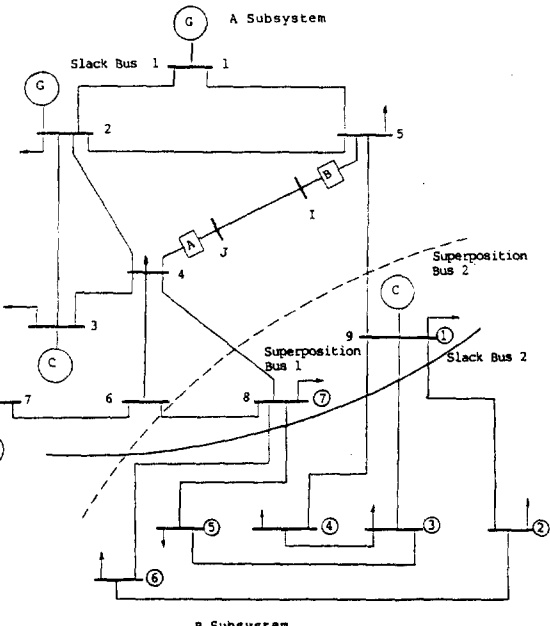


그림8. 分割한 14 BUS 모델系統(모델系統 II)

Fig. 8. Decomposed 14 Bus model power system (Model system II).

値를 推定한 것과 實際值를 비교한 것이다. 이때, 部分系統 A는 총 29개의 測定值로 17개의 狀態值를 B는 총 28개의 測定值로 13개의 狀態值를 推定하였으며, 部分系統 B에서는 基準母線을 그림 8에서와 같이 모델系統 I에서의 Bus 6으로 선정하였고,

표 2. 모델系統Ⅱ에서의 系統分割에 의한 狀態推定值와 實際值 比較

Table 2. Comparison of the estimated values and true values by system decomposition in model system II.

| BUS | MAG. TR. | MAG. ES. | ER[%] | ANG. TR. | ANG. ES. | ER[%] |
|-----|----------|----------|---------|----------|----------|---------|
| 1 | 1.06000 | 1.05916 | 0.07925 | 0.00000 | 0.00000 | 0.00000 |
| 2 | 1.04500 | 1.04418 | 0.07847 | -0.08692 | -0.08696 | 0.04602 |
| 3 | 1.01000 | 1.00920 | 0.07921 | -0.22201 | -0.22208 | 0.03153 |
| 4 | 1.01900 | 1.01820 | 0.07851 | -0.18029 | -0.18031 | 0.01109 |
| 5 | 1.02000 | 1.01913 | 0.08529 | -0.15324 | -0.15348 | 0.15662 |
| 6 | 1.07000 | 1.07116 | 0.10841 | -0.24819 | -0.24851 | 0.12893 |
| 7 | 1.06200 | 1.06120 | 0.07533 | -0.23335 | -0.23347 | 0.05142 |
| 8 | 1.09000 | 1.08922 | 0.07156 | -0.23318 | -0.23330 | 0.05146 |
| 9 | 1.05600 | 1.05718 | 0.11174 | -0.26075 | -0.26099 | 0.09204 |
| 10 | 1.05100 | 1.05219 | 0.11323 | -0.26354 | -0.26376 | 0.08348 |
| 11 | 1.05700 | 1.05820 | 0.11353 | -0.25813 | -0.25840 | 0.10460 |
| 12 | 1.05500 | 1.05622 | 0.11564 | -0.31538 | -0.31537 | 0.00317 |
| 13 | 1.05000 | 1.05104 | 0.09905 | -0.26459 | -0.26484 | 0.09449 |
| 14 | 1.03600 | 1.03705 | 0.10135 | -0.27995 | -0.28009 | 0.05000 |

基準母線의 電壓크기까지 狀態值로서 설정하여 推定하였다.

한편, 重疊母線으로서는 그림 8과 같이 2개를 선정하였으며, 따라서 推定時에는 連繫系統이 형성되지 않으므로 連繫系統에서의 별도의 推定이 필요 없이 바로 系統協調를 간단히 할 수가 있었고, 이 표로부터 推定結果의 最大誤差가 電壓의 크기 및 位相角이 각각 0.11564[%], 0.15662[%]로서 分割前과 비교하여 거의 차이가 없음을 보이고 있다. 그리고, 計算機의 記憶容量도 全系統으로 다룰 시 113.33[kB], 分割時에는 部分系統 A, B가 각각 42.03

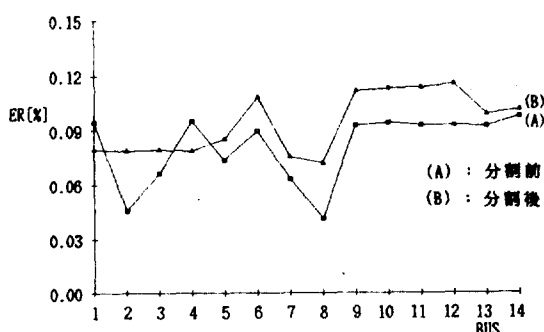


그림9. 系統分割前後에서의 電壓크기에 대한 推定值誤差 比較

Fig.9. Comparison of errors about the estimated values of voltage magnitudes at before and after system decomposition.

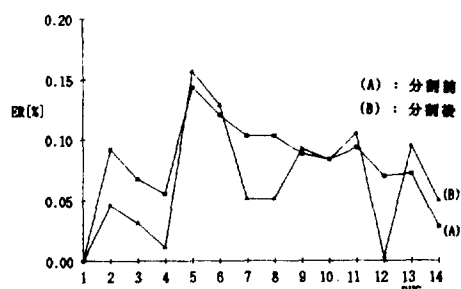


그림10. 系統分割前後에서의 電壓位相角에 대한 推定值誤差 比較

Fig.10. Comparison of errors about the estimated values of voltage phase angles at before and after system decompostion.

[kB] 29.69[kB]로서 系統의 規模로 볼 때 分割에 의한 推定이 計算機의 記憶容量, 計算遂行 및 情報處理面에서 훨씬 効率의이었다.

그림 9, 10은 위에서 기술한 分割前後の 두 推定에서 각母線의 電壓크기 및 位相角의 誤差를 서로비교한 것으로서 (A)는 分割前, (B)는 分割後를 나타낸 것이다. 이로부터 誤差의 차이가 거의 없음을 알 수 있다.

표 3은 DC系統에서의 狀態推定結果를 나타낸 것으로 母線이 2개(Bus4, 5)인 이 系統에서 測定值은 線路潮流 및 電流를 이용하였으며, 電壓의

표 3. DC系統에서의 狀態推定 結果

Table 3. The results of state estimation in DC system.

| BUS | E_{d_k} , TR. | E_{d_k} , E_s | ER[%] |
|-----|-----------------|-------------------|---------|
| I | 1.28552 | 1.28648 | 0.07468 |
| J | 1.28400 | 1.28496 | 0.07477 |

크기만인 狀態值의 推定結果는 最大誤差가 0.07477 [%]인 매우 좋은 結果를 얻었다.

한편, 표 4는 AC/DC連繫系統에서 狀態推定을 실시한 결과로서, 順, 逆變換器側에서 각각 傳送測定值 3개 및 假想測定值 2개를 이용하여 推定한 결과 順變換器側과 逆變換器側 모두 最大誤差가 각각 0.1821[%], 0.1539[%]인 매우 좋은 결과를 얻었으며, DC 및 AC/DC 系統에서의 推定結果를 그림으로 나타내면 그림 11과 같다.

표 4. AC/DC連繫系統에서의 狀態推定 結果

Table 4. The results of state estimation in AC/DC system.

| BUS STATE | 5 - I | BUS STATE | 4 - J |
|-----------------|--------|-----------------|--------|
| E_{b_1} , TR. | 1.0382 | E_{b_2} , TR. | 1.0409 |
| E_{b_1} , ES. | 1.0392 | E_{b_2} , ES. | 1.0418 |
| ER[%] | 0.0963 | ER[%] | 0.0865 |
| ϕ_1 , TR. | 0.4106 | ϕ_2 , TR. | 0.4192 |
| ϕ_1 , ES. | 0.4108 | ϕ_2 , ES. | 0.4193 |
| ER[%] | 0.0487 | ER[%] | 0.0239 |
| α , TR. | 0.3905 | r , TR. | 0.4053 |
| α , ES. | 0.3908 | r , ES. | 0.4054 |
| ER[%] | 0.0768 | ER[%] | 0.0247 |
| n_r , TR. | 1.0434 | n_r , TR. | 1.0395 |
| n_r , ES. | 1.0453 | n_r , ES. | 1.0411 |
| ER[%] | 0.1821 | ER[%] | 0.1539 |

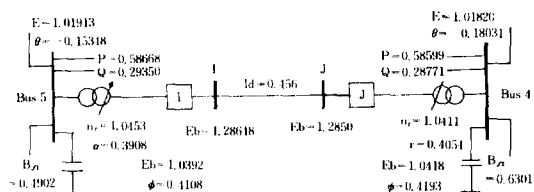


그림11. DC 및 AC/DC系統에서의 狀態推定結果

Fig. 11. The results of state estimation in DC and AC/DC system.

또한, 지금까지 推定한 狀態值에 이용된 測定值의 平均絕對誤差 및 目的函數值은 표 5와 같으며,

지금까지의 推定에서는 $|\Delta E| = 0.001[\text{pu}]$, $|\Delta \theta| = 0.001[\text{RAD}]$, 기타의 狀態值에서도 $|\Delta X| = 0.001[\text{pu}]$ 로 정하였다.

위에서 나타낸 이 모든 結果를 토대로 하여 評價하여 볼 때 本論文에서 提案한 技法들이 交直混合系統에서의 각 系統별 狀態推定에 매우 効用性이 있음을 立證하였다. 그러나, 만일 實系統適用 시에는 最適測定地點 및 개수 선정과 分할해야 할 線路 및 重疊母線의 선정 등이 함께 연구되어야 할 것으로 사료된다.

표 5. 각 系統에서의 測定值 誤差 및 目的函數值

Table 5. Errors of measurement value and objective function values.

| TERM | 절대측정오차[%] | OBJ. FUNCTION |
|-----------|-----------|---------------|
| AC계통 | 0.05000 | 0.01250 |
| 분할계통A | 0.05320 | 0.02030 |
| 분할계통B | 0.06270 | 0.01800 |
| DC계통 | 0.07320 | 0.00017 |
| AC/DC, I측 | 0.10550 | 0.00017 |
| AC/DC, J측 | 0.07090 | 0.00030 |

8. 結論

電力系統의 運用 및 制御에 필수적인 狀態推定을 모델系統인 交直混合系統에 提案한 技法을 적용시켜 실시해 본 결과 다음과 같은 결론을 얻었다.

- (1) 系統을 分割한 후 推定精度를 유지하며 보다迅速하게 狀態值를 推定하였으며, 分割時는 連繫系統을 형성하지 않고 重疊母線만 만들므로써 連繫系統의 狀態推定이 필요없이 간단한 系統協調에 의하여 全系統의 狀態值를 推定하도록 하였다.
- (2) 交直混合系統에서의 狀態推定을 각 系統별로 구분하여 실시하였으며, DC系統에서는 간결한 推定技法으로 DC系統의 母線電壓을 推定하였다.
- (3) AC/DC 連繫系統에서는 狀態值의 선정을 확장시킨 후 假想測定值를 이용함으로써 적은 傳統測定值로 狀態推定을 실시하여 系統制御를 위한 情報로서 이용토록 하였다.

REFERENCE

- 1) F. Zhuang, et al. : "A Transformation - Decoupled Estimator for Power System state Estimation," IEEE Trans., Vol. PAS-104, pp. 1738-1744, No. 7, July 1985.

- 2) J.W.Wang, V.H.Quintana : "A Decoupled Orthogonal Row Processing Algorithm for Power System Estimation," IEEE Trans., Vol. PAS-103, pp. 2337-2344 No. 8, Aug. 1984.
- 3) N.D.Rao, L.Roy : "A Cartesian Algorithm for Power System State Estimation," IEEE Trans., Vol. PAS-102, pp. 1070-1082, No. 5, May 1983.
- 4) Th. Van Custem, et al. : "A Two-Level Static State Estimator for Electric Power Systems," IEEE Trans., Vol. PAS-100, pp. 3722-3731, No. 8, Aug. 1981.
- 5) Y.M.El - Fattain, et al. : "Hierarchical State Estimation", Int. Journal of Electrical Power Energy Systems, Vol. 2, pp. 70-80, April 1980.
- 6) M. Sheikholeslami, et al. : "State Estimation of Interconnected HVDC / AC Systems," IEEE Trans., Vol. PAS-102, pp. 1805-1810, No. 6, June 1983.
- 7) D.M. Falcão, et al. : "State Estimation for Integrated Multi - Terminal DC / AC Systems," IEEE Trans., Vol. PAS-104, No. 9, Sep. 1985.
- 8) H.R. Sirisena, et al. : "Inclusion of HVDC links in AC Power - System State Estimation," IEE Proc., Vol. 128, Pt. C, No. 3, May 1981.
- 9) 關根泰次 : 電力系統過渡解析論, 1984.

(附錄 1)

本文에서 식 (20) 은

$$E_{b_1} = \frac{\pi E_{d_{01}}}{3\sqrt{3} \cos \phi_i}$$

으로부터

$$E_{d_{01}} = \frac{3\sqrt{2}}{\pi} E_{b_1} \cos \phi_i$$

가 얻어진다. 한편, 本文의 식 (21) 은

$$\begin{aligned} \frac{E_{t_1}}{E_t} &= n_r \\ &= \frac{1}{E_t} E_{b_1} \sqrt{1 + 3\left(\frac{I_t X_t}{E_{b_1}}\right)^2 + 2\sqrt{3}\left(\frac{I_t X_t}{E_{b_1}}\right) \sin \phi_i} \end{aligned}$$

에서

$$n_r^2 = \left(\frac{E_{b_1}}{E_t}\right)^2 \left(1 + 3\left(\frac{I_t X_t}{E_{b_1}}\right)^2 + 2\sqrt{3}\left(\frac{I_t X_t}{E_{b_1}}\right) \sin \phi_i\right)$$

가 되며, 이 식을 다시 정리하면

$$3(I_t X_t)^2 = n_r^2 E_t^2 - E_{b_1}^2 - 2\sqrt{3} E_{b_1} I_t X_t \sin \phi_i$$

가 된다. 따라서,

$$I_t = \frac{\sqrt{6}}{\pi} I_{d_{12}}$$

이므로

$$(I_{d_{12}} X_t)^2 = \frac{\pi^2}{18} \left(n_r^2 E_t^2 - E_{b_1}^2 - \frac{6\sqrt{2}}{\pi} E_{b_1} I_{d_{12}} X_t \sin \phi_i \right)$$

가 성립하게 된다.

또한, 本文의 식 (22) 는

$$\cos \alpha = \frac{\cos \phi_i + \frac{I_{d_{12}} X_t}{\sqrt{2} E_{b_1}}}{\sqrt{1 + \left(\frac{3\sqrt{2}}{\pi} \cdot \frac{I_{d_{12}} X_t}{E_{b_1}}\right)^2 + 2\left(\frac{3\sqrt{2}}{\pi} \cdot \frac{I_{d_{12}} X_t}{E_{b_1}}\right) \sin \phi_i}}$$

로 부터

$$\begin{aligned} \cos^2 \phi_i + \frac{\sqrt{2} I_{d_{12}} X_t}{E_{b_1}} \cos \phi_i + \frac{(I_{d_{12}} X_t)^2}{2 E_{b_1}^2} \\ = \cos^2 \alpha \left(1 + \left(\frac{3\sqrt{2}}{\pi} \cdot \frac{I_{d_{12}} X_t}{E_{b_1}}\right)^2 + \frac{6\sqrt{2}}{\pi}\right) \\ + \frac{I_{d_{12}} X_t}{E_{b_1}} \sin \phi_i \end{aligned}$$

가 되며, 이 식을 정리하면 다음과 같이 된다.

$$\begin{aligned} (I_{d_{12}} X_t)^2 &= \cos^2 \alpha \left(2 E_{b_1}^2 + \frac{36}{\pi^2} (I_{d_{12}} X_t)^2 + \frac{12\sqrt{2}}{\pi}\right. \\ &\quad \left. E_{b_1} I_{d_{12}} X_t \sin \phi_i\right) - 2 E_{b_1} \cos \phi_i + \\ &\quad (E_{b_1} \cos \phi_i + \sqrt{2} I_{d_{12}} X_t) \end{aligned}$$

기타 식 (25) ~ (27) 은 각각

$$\begin{aligned} E_{d_{01}} &\rightarrow E_{d_{02}}, \quad \phi_i \rightarrow \phi_j, \quad n_r \rightarrow n_t \\ E_{b_1} &\rightarrow E_{b_2}, \quad X_t \rightarrow X_j, \quad \alpha \rightarrow r \end{aligned}$$

로 변수를 바꾸어 위와 동일한 방법으로 구할 수 있다.

(附錄 2)

I, J : 順, 逆變換器

$I_{d_{12}}$: 直流線路電流

E_{d_1}, E_{d_2} : 順, 逆變換器側에서의 直流線路電壓

$E_{d_{01}}, E_{d_{02}}$: 順, 逆變換器의 直流發生電壓

R_t : 直流線路抵抗

X_t, X_j : 順, 逆變換器의 轉流리액턴스

α : 順變換器의 制御角

r : 逆變換器의 餘裕角

E_{b_1}, E_{b_2} : 順, 逆變換器 브릿지에 인가되는 電壓

I_t, I_j : 順, 逆變換器變壓器의 2 次側 電流

E_{t_1}, E_{t_2} : 順, 逆變換器變壓器의 2 次側 發生 電壓

B_{s1}, B_{s2} : filter 써셉턴스

n_r, n_t : 順, 逆變換器變壓器의 卷線比

P_t, P_j : 變換器用變壓器의 1 次側 有効電力

Q_t, Q_j : 變換器用變壓器의 1 次側 無効電力

I_p, I_q : 順, 逆變換器變壓器의 1 次側 電流

ϕ_t, ϕ_j : $E_{b_1} - I_t$ 및 $E_{b_2} - I_j$ 間의 位相差